

УДК 681.3.06 : 519.248.681

И. Д. ГОРБЕНКО, д-р техн. наук, М. С. МИХАЙЛЕНКО, Т. А. ГРИНЕНКО

SAMELLIA – 128-БИТНЫЙ ПЕРСПЕКТИВНЫЙ БЛОЧНЫЙ СИММЕТРИЧНЫЙ ШИФР: МЕТОДЫ ПРЕОБРАЗОВАНИЙ, СВОЙСТВА И ОБЛАСТИ ПРИМЕНЕНИЯ

27 февраля 2003 года в европейском проекте NESSIE был представлен финальный список криптоалгоритмов, [1–3]. Алгоритм Camellia был включен в этот список как рекомендованный криптографический примитив.

Под аббревиатурой NESSIE скрывается название международного криптографического проекта New European Schemes for Signatures, Integrity and Encryption («Новые европейские схемы для электронных подписей, обеспечения целостности информации и шифрования»). Этот рассчитанный на три года проект запущен в январе 2000 года под эгидой Европейской комиссии. Его цель – создать «строительные блоки для будущих стандартных протоколов информационного сообщества», главными участниками являются научные и промышленные институты семи стран: Бельгии, Великобритании, Германии, Израиля, Италии, Норвегии и Франции.

Задачи перед проектом были поставлены весьма широкие: отобрать десяток основных криптографических примитивов. В этот набор, в частности, входят алгоритмы блочного и поточного шифрования, генераторы случайных чисел, схемы быстрой аутентификации пакетов данных, хэш-функции и алгоритмы цифровой подписи. В качестве основных критериев отбора претендентов названы безопасность, производительность, гибкость и требования рынка.

Camellia это следующее поколение 128-битного блочного криптографического алгоритма, разработанного в Японии специалистами Телеграфной и Телефонной Корпорации Nippon и Электрической Корпорации Mitsubishi, поддерживающего три размера ключей: $l_k = 128, 192$ и 256 бит. Блочный симметричный алгоритм Camellia был разработан не только как высоко защищенный криптографический шифр, но также как алгоритм, легко переносимый на различные аппаратные платформы.

Целью настоящей статьи является ознакомление специалистов в области информационной безопасности с алгоритмом блочного симметричного шифрования, рекомендованного ведущими специалистами в данной области в качестве криптографического примитива.

1 Общая характеристика криптоалгоритма

Алгоритм Camellia является блочным симметричным криптоалгоритмом. Длина блока равна $l_u = 128$ бит. Криптографические преобразования блоков информации осуществляются с использованием ключевых данных. Ключ, вводимый в средства реализации Camellia, называют исходным ключом K . Разрешенными длинами исходного ключа есть $l_k = 128, 192$ и 256 бит. Ключи, используемые в циклах преобразования, формируются из исходного K и называются цикловыми ключами. Эти ключи формируются специальным криптографическим алгоритмом.

Криптоалгоритм Camellia может применяться в пяти режимах:

- 1) блочного шифрования;
- 2) поточного шифрования;
- 3) поточного шифрования с обратной связью;
- 4) выработки ключевой хэш-функции (кода-аутентификации);
- 5) генератора псевдослучайных последовательностей.

2 Представление преобразуемой информации и ключей

В алгоритме Camellia преобразования выполняются при длине блоков информации $l_u = 128$ бит и длинах исходных ключей $l_k = 128, 192$ и 256 бит. Необходимая стойкость в алгоритме обеспечивается за счет многоциклового преобразования, причем в каждом из циклов применяются ключевые преобразования, то есть преобразования по развернутым ключам.

Пусть необходимо зашифровать M_i блок информации длиной 128 бит. Блок представляется в виде одномерного массива, выходные данные C_i и развернутый цикловой ключ K_i также представляются одномерными массивами. В алгоритме Camellia число циклов преобразования зависит от длины исходного ключа l_k . В табл. 1 приведено значение количества циклов как функции l_k .

Таблица 1

| Длина ключа l_k , бит | 128 | 192 | 256 |
|-------------------------|-----|-----|-----|
| Число циклов | 18 | 24 | 24 |

При $l_k = 128$ после 6-го и 12-го циклов находятся два FL/FL^{-1} функциональных уровня (при $l_k = 192, 256$ функции FL/FL^{-1} расположены после 6-го, 12-го и 18-го циклов). Кроме того, перед первым и после последнего циклов выполняются криптографические преобразования – сложение по модулю 2 с цикловыми ключами. Сам цикл имеет структуру Фейстеля. Ключ преобразования имеет вид конкатенации двух 128-битных последовательностей $K_{(128)} = K_{L(128)} \parallel K_{R(128)}$, где $K_{R(128)}$ используется только на длинах $l_k = 192, 256$ бит.

3 Табличные и криптографические преобразования

На рис. 1 показана процедура зашифрования для 128-битового ключа [5]. Блок зашифрования данных имеет 18-цикловую структуру Фейстеля с двумя FL/FL^{-1} -функциональными уровнями после 6-го и 12-го циклов и 128-битовыми XOR операциями рандомизации перед первым циклом и после последнего цикла. Блок развертывания ключей генерирует подключи $kw_{t(64)}$ ($t = 1, 2, 3, 4$), $ku_{(64)}$ ($u = 1, 2, \dots, 18$) и $kl_{v(64)}$ ($v = 1, 2, 3, 4$) из секретного исходного ключа K .

В блоке рандомизации данных сначала выполняется операция XOR (сумма по модулю 2) открытого текста $M_{(128)}$ с $kw_{1(64)} \parallel kw_{2(64)}$ и выделение $L_{0(64)}$ и $R_{0(64)}$ равной длины, то есть:

$$M_{(128)} \oplus (kw_{1(64)} \parallel kw_{2(64)}) = L_{0(64)} \parallel R_{0(64)};$$

где \oplus побитовая операция «Исключающее ИЛИ», а \parallel конкатенация двух операндов. В циклах для $r =$ от 1 до 18 выполняется операции (кроме $r = 6$ и 12):

$$\begin{aligned} L_r &= R_{r-1} \oplus F(L_{r-1}, k_r), \\ R_r &= L_{r-1}. \end{aligned}$$

Для $r = 6$ и 12 выполняется следующее:

$$\begin{aligned} L_{\bar{r}} &= R_{r-1} \oplus F(L_{r-1}, k_r), \\ R_{\bar{r}} &= L_{r-1}, \\ L_r &= FL(L_{\bar{r}}, kl_{2r/6-1}), \\ R_r &= FL^{-1}(R_{\bar{r}}, kl_{2r/6}). \end{aligned}$$

И, наконец, $R_{18(64)}$ и $L_{18(64)}$ конкатенируются и складываются по модулю 2 с $kw_{3(64)} \parallel kw_{4(64)}$. В результате в первом режиме формируется блок-криптограмма длиной 128 бит:

$$C_{(128)} = (R_{18(64)} \parallel L_{18(64)}) \oplus (kw_{3(64)} \parallel kw_{4(64)}).$$

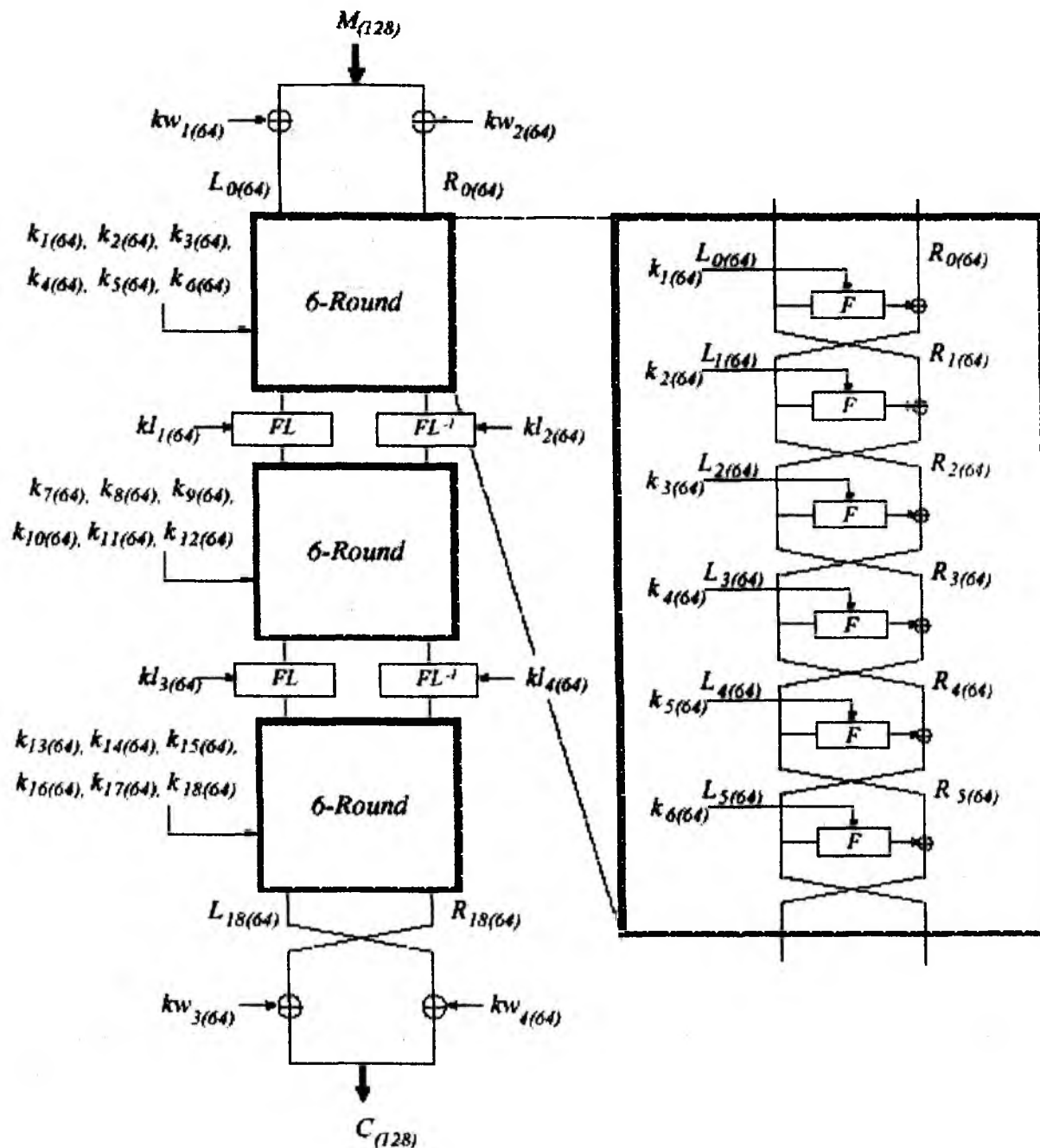


Рис. 1

При осуществлении криптопреобразований в алгоритме Camellia используется некоторый набор функций. Рассмотрим кратко функции F , FL и FL^{-1} , которые используются в алгоритме Camellia.

F-функция

На рис. 2 показана F -функция, которая определяется следующим образом:

$$F : L * L \rightarrow L,$$

L обозначает векторное пространство 64-битовых элементов

$$(X_{(64)}, k_{(64)}) \rightarrow Y_{(64)} = P(S(X_{(64)} \oplus k_{(64)})).$$

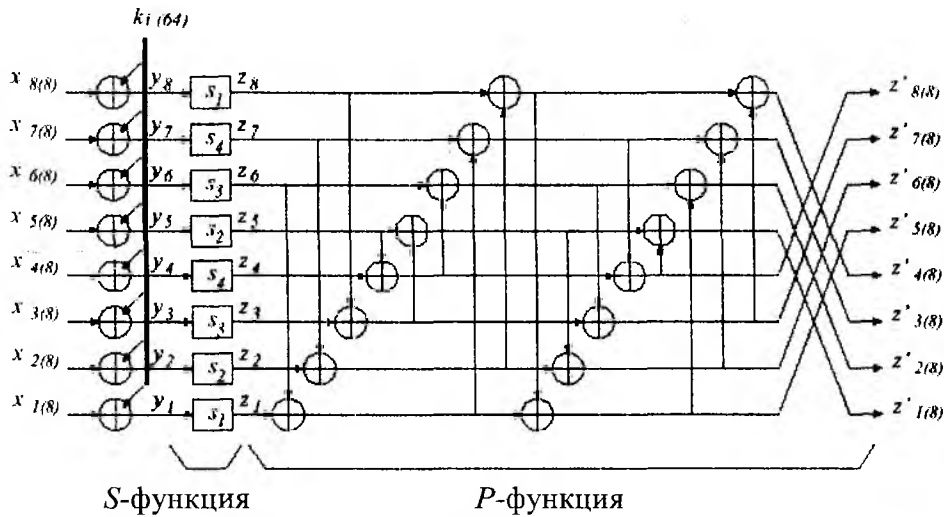


Рис. 2

S-функция

S-функция является частью F-функции, которая определяется следующим образом:
 $S : L \rightarrow L$.

$$l_{1(8)} \parallel l_{2(8)} \parallel l_{3(8)} \parallel l_{4(8)} \parallel l_{5(8)} \parallel l_{6(8)} \parallel l_{7(8)} \parallel l_{8(8)} \rightarrow \\ \rightarrow l_{1(8)}^- \parallel l_{2(8)}^- \parallel l_{3(8)}^- \parallel l_{4(8)}^- \parallel l_{5(8)}^- \parallel l_{6(8)}^- \parallel l_{7(8)}^- \parallel l_{8(8)}^- ,$$

где
 $l_{1(8)}^- = s_1(l_{1(8)})$; $l_{2(8)}^- = s_2(l_{2(8)})$; $l_{3(8)}^- = s_3(l_{3(8)})$; $l_{4(8)}^- = s_4(l_{4(8)})$; $l_{5(8)}^- = s_2(l_{5(8)})$; $l_{6(8)}^- = s_3(l_{6(8)})$;
 $l_{7(8)}^- = s_4(l_{7(8)})$; $l_{8(8)}^- = s_1(l_{8(8)})$.

s-блоки

Четыре s-блока шифра Camellia являются аффинным эквивалентом функции инверсии на $GF(2^8)$, что представлено в табл. 2,3,4 и 5. Ниже показано алгебраическое представление s-блоков:

$$s_1 : B \rightarrow B , \\ x_{(8)} \rightarrow h(g(f(0xc5 \oplus x_{(8)}))) \oplus 0xb6e , \\ s_2 : B \rightarrow B , \\ x_{(8)} \rightarrow s_1(x_{(8)}) \lll 1 , \\ s_3 : B \rightarrow B , \\ x_{(8)} \rightarrow s_1(x_{(8)}) \ggg 1 , \\ s_4 : B \rightarrow B , \\ x_{(8)} \rightarrow s_1(x_{(8)}) \lll 1 ,$$

здесь $\lll n$ ($\ggg n$) – циклический сдвиг влево (вправо) операнда на n бит.

B обозначает векторное пространство 8-битовых элементов (байтов), функции f , g и h задаются следующим образом:

$$f : B \rightarrow B$$

$$a_{1(1)} \parallel a_{2(1)} \parallel a_{3(1)} \parallel a_{4(1)} \parallel a_{5(1)} \parallel a_{6(1)} \parallel a_{7(1)} \parallel a_{8(1)} \rightarrow \\ \rightarrow b_{1(1)} \parallel b_{2(1)} \parallel b_{3(1)} \parallel b_{4(1)} \parallel b_{5(1)} \parallel b_{6(1)} \parallel b_{7(1)} \parallel b_{8(1)},$$

где

$$b_1 = a_6 \oplus a_2; b_2 = a_7 \oplus a_1; b_3 = a_8 \oplus a_5 \oplus a_3; b_4 = a_8 \oplus a_3; b_5 = a_7 \oplus a_4; b_6 = a_5 \oplus a_2; \\ b_7 = a_8 \oplus a_1; b_8 = a_6 \oplus a_4.$$

$g: B \rightarrow B$

$$a_{1(1)} \parallel a_{2(1)} \parallel a_{3(1)} \parallel a_{4(1)} \parallel a_{5(1)} \parallel a_{6(1)} \parallel a_{7(1)} \parallel a_{8(1)} \rightarrow \\ \rightarrow b_{1(1)} \parallel b_{2(1)} \parallel b_{3(1)} \parallel b_{4(1)} \parallel b_{5(1)} \parallel b_{6(1)} \parallel b_{7(1)} \parallel b_{8(1)},$$

где

$$(b_8 + b_7a + b_6a^2 + b_5a^3) + (b_4 + b_3a + b_2a^2 + b_1a^3)\beta = \\ = 1/((a_8 + a_7a + a_6a^2 + a_5a^3) + (a_4 + a_3a + a_2a^2 + a_1a^3)\beta);$$

Эта инверсия выполняется в $GF(2^8)$, где β является элементом $GF(2^8)$, который удовлетворяет условию $\beta^8 + \beta^6 + \beta^5 + \beta^3 + 1 = 0$, и $a = \beta^{238} = \beta^6 + \beta^5 + \beta^3 + \beta^2$ является элементом $GF(2^4)$, который удовлетворяет условию: $a^4 + a + 1 = 0$.

$h: B \rightarrow B$

$$a_{1(1)} \parallel a_{2(1)} \parallel a_{3(1)} \parallel a_{4(1)} \parallel a_{5(1)} \parallel a_{6(1)} \parallel a_{7(1)} \parallel a_{8(1)} \rightarrow \\ \rightarrow b_{1(1)} \parallel b_{2(1)} \parallel b_{3(1)} \parallel b_{4(1)} \parallel b_{5(1)} \parallel b_{6(1)} \parallel b_{7(1)} \parallel b_{8(1)},$$

где

$$b_1 = a_5 \oplus a_6 \oplus a_2; b_2 = a_6 \oplus a_2; b_3 = a_7 \oplus a_4; b_4 = a_8 \oplus a_2; b_5 = a_7 \oplus a_3; b_6 = a_8 \oplus a_1; \\ b_7 = a_5 \oplus a_1; b_8 = a_6 \oplus a_3.$$

В табл. 2, 3, 4, 5 приведены s-блоки подстановок.

Таблица 2

| | | | | | | | | | | | | | | | |
|-----|-----|-----|-----|-----|-----|-----|-----|-----|-----|-----|-----|-----|-----|-----|-----|
| 112 | 130 | 44 | 236 | 179 | 39 | 192 | 229 | 228 | 139 | 87 | 53 | 234 | 12 | 174 | 65 |
| 35 | 239 | 107 | 147 | 69 | 25 | 165 | 33 | 237 | 14 | 79 | 78 | 29 | 101 | 163 | 169 |
| 134 | 181 | 175 | 143 | 124 | 235 | 31 | 206 | 52 | 48 | 320 | 95 | 94 | 197 | 11 | 26 |
| 166 | 225 | 57 | 202 | 213 | 71 | 93 | 61 | 217 | 1 | 90 | 214 | 31 | 86 | 108 | 77 |
| 139 | 13 | 154 | 102 | 251 | 204 | 176 | 45 | 116 | 18 | 43 | 32 | 240 | 177 | 132 | 153 |
| 223 | 76 | 203 | 194 | 52 | 126 | 118 | 5 | 109 | 133 | 169 | 49 | 209 | 23 | 4 | 215 |
| 20 | 83 | 58 | 97 | 222 | 27 | 17 | 23 | 50 | 15 | 156 | 22 | 83 | 24 | 262 | 34 |
| 254 | 63 | 207 | 178 | 195 | 181 | 122 | 145 | 36 | 8 | 232 | 163 | 96 | 252 | 105 | 80 |
| 170 | 208 | 160 | 125 | 161 | 137 | 98 | 151 | 84 | 91 | 30 | 149 | 224 | 255 | 100 | 210 |
| 16 | 196 | 0 | 72 | 163 | 247 | 117 | 219 | 138 | 3 | 230 | 218 | 9 | 63 | 221 | 146 |
| 135 | 92 | 131 | 2 | 205 | 74 | 144 | 51 | 115 | 103 | 246 | 243 | 157 | 127 | 191 | 226 |
| 82 | 155 | 216 | 38 | 200 | 55 | 198 | 59 | 129 | 150 | 111 | 75 | 19 | 190 | 99 | 46 |
| 233 | 121 | 167 | 140 | 159 | 110 | 188 | 142 | 41 | 235 | 249 | 182 | 47 | 253 | 130 | 39 |
| 120 | 152 | 6 | 106 | 231 | 70 | 113 | 186 | 212 | 37 | 171 | 66 | 136 | 162 | 141 | 250 |
| 114 | 7 | 185 | 85 | 243 | 238 | 172 | 10 | 54 | 73 | 42 | 104 | 60 | 56 | 241 | 164 |
| 64 | 40 | 211 | 123 | 187 | 201 | 67 | 193 | 21 | 227 | 173 | 244 | 119 | 199 | 123 | 158 |

Таблица 3

| | | | | | | | | | | | | | | | |
|-----|-----|-----|-----|-----|-----|-----|-----|-----|-----|-----|-----|-----|-----|-----|-----|
| 224 | 5 | 88 | 217 | 103 | 78 | 129 | 203 | 201 | 11 | 174 | 106 | 213 | 24 | 93 | 130 |
| 70 | 223 | 214 | 39 | 138 | 50 | 75 | 66 | 219 | 28 | 158 | 156 | 58 | 202 | 37 | 123 |
| 13 | 113 | 95 | 31 | 248 | 215 | 62 | 157 | 124 | 96 | 185 | 130 | 188 | 139 | 22 | 52 |
| 77 | 195 | 114 | 149 | 171 | 142 | 186 | 122 | 179 | 2 | 180 | 173 | 162 | 172 | 216 | 154 |
| 23 | 26 | 53 | 204 | 247 | 153 | 97 | 80 | 232 | 36 | 88 | 64 | 225 | 99 | 9 | 51 |
| 191 | 182 | 151 | 133 | 104 | 252 | 236 | 10 | 218 | 111 | 83 | 98 | 153 | 46 | 8 | 175 |
| 40 | 176 | 116 | 194 | 139 | 54 | 34 | 56 | 100 | 30 | 57 | 44 | 166 | 43 | 229 | 68 |
| 253 | 136 | 159 | 101 | 135 | 107 | 244 | 35 | 72 | 16 | 209 | 61 | 192 | 240 | 210 | 160 |
| 86 | 161 | 65 | 250 | 67 | 19 | 186 | 47 | 163 | 182 | 60 | 43 | 193 | 255 | 200 | 165 |
| 32 | 137 | 0 | 144 | 71 | 239 | 234 | 183 | 21 | 6 | 205 | 181 | 18 | 126 | 187 | 61 |
| 15 | 184 | 7 | 4 | 155 | 148 | 33 | 102 | 230 | 206 | 237 | 231 | 59 | 254 | 127 | 197 |
| 164 | 55 | 177 | 76 | 145 | 110 | 141 | 118 | 3 | 45 | 222 | 150 | 38 | 125 | 198 | 92 |
| 211 | 242 | 79 | 25 | 63 | 220 | 121 | 29 | 82 | 235 | 243 | 109 | 94 | 251 | 105 | 178 |
| 240 | 49 | 12 | 212 | 207 | 140 | 226 | 117 | 169 | 74 | 87 | 132 | 17 | 69 | 27 | 245 |
| 228 | 14 | 115 | 170 | 241 | 221 | 89 | 20 | 108 | 146 | 84 | 208 | 120 | 112 | 237 | 73 |
| 123 | 80 | 167 | 246 | 119 | 147 | 134 | 131 | 42 | 199 | 91 | 233 | 238 | 143 | 1 | 64 |

Таблица 4

| | | | | | | | | | | | | | | | |
|-----|-----|-----|-----|-----|-----|-----|-----|-----|-----|-----|-----|-----|-----|-----|-----|
| 56 | 65 | 22 | 116 | 217 | 147 | 96 | 242 | 114 | 134 | 171 | 154 | 117 | 6 | 87 | 160 |
| 145 | 247 | 181 | 201 | 162 | 140 | 210 | 144 | 246 | 7 | 167 | 39 | 142 | 173 | 73 | 222 |
| 67 | 92 | 215 | 199 | 62 | 245 | 143 | 103 | 31 | 24 | 110 | 175 | 47 | 226 | 133 | 13 |
| 83 | 240 | 156 | 101 | 234 | 163 | 174 | 158 | 236 | 123 | 45 | 107 | 168 | 43 | 54 | 166 |
| 197 | 134 | 77 | 51 | 253 | 102 | 38 | 150 | 53 | 9 | 149 | 16 | 120 | 216 | 66 | 204 |
| 239 | 38 | 229 | 97 | 26 | 63 | 59 | 130 | 182 | 219 | 212 | 152 | 232 | 139 | 2 | 235 |
| 10 | 44 | 29 | 176 | 111 | 141 | 136 | 14 | 25 | 135 | 73 | 11 | 169 | 12 | 121 | 17 |
| 127 | 34 | 231 | 89 | 235 | 213 | 61 | 200 | 18 | 4 | 116 | 34 | 48 | 128 | 180 | 40 |
| 85 | 104 | 80 | 190 | 208 | 196 | 49 | 203 | 42 | 173 | 15 | 202 | 112 | 258 | 50 | 106 |
| 3 | 96 | 0 | 36 | 209 | 251 | 186 | 237 | 69 | 129 | 115 | 109 | 132 | 159 | 238 | 74 |
| 195 | 46 | 193 | 1 | 230 | 37 | 72 | 153 | 135 | 179 | 123 | 249 | 206 | 191 | 233 | 113 |
| 41 | 205 | 108 | 19 | 100 | 155 | 99 | 157 | 192 | 75 | 183 | 165 | 137 | 95 | 177 | 23 |
| 244 | 188 | 211 | 70 | 207 | 55 | 94 | 71 | 148 | 250 | 252 | 91 | 151 | 254 | 90 | 172 |
| 60 | 76 | 3 | 53 | 243 | 35 | 134 | 93 | 106 | 146 | 213 | 33 | 63 | 81 | 193 | 125 |
| 57 | 131 | 220 | 170 | 124 | 119 | 86 | 5 | 27 | 164 | 21 | 52 | 30 | 28 | 248 | 92 |
| 32 | 30 | 233 | 189 | 221 | 223 | 161 | 224 | 138 | 241 | 214 | 122 | 137 | 227 | 64 | 79 |

Таблица 5

| | | | | | | | | | | | | | | | |
|-----|-----|-----|-----|-----|-----|-----|-----|-----|-----|-----|-----|-----|-----|-----|-----|
| 112 | 64 | 179 | 192 | 228 | 87 | 234 | 174 | 35 | 107 | 69 | 165 | 237 | 79 | 29 | 146 |
| 134 | 175 | 124 | 31 | 62 | 230 | 94 | 11 | 166 | 57 | 213 | 93 | 217 | 90 | 31 | 108 |
| 139 | 154 | 251 | 176 | 116 | 43 | 240 | 132 | 223 | 203 | 52 | 118 | 109 | 169 | 209 | 4 |
| 20 | 58 | 222 | 17 | 50 | 156 | 83 | 242 | 254 | 207 | 195 | 122 | 36 | 232 | 96 | 105 |
| 179 | 160 | 161 | 98 | 34 | 30 | 224 | 100 | 16 | 0 | 163 | 117 | 138 | 230 | 9 | 221 |
| 135 | 131 | 205 | 144 | 115 | 246 | 157 | 191 | 82 | 218 | 200 | 198 | 129 | 111 | 19 | 99 |
| 233 | 167 | 159 | 183 | 41 | 249 | 47 | 180 | 120 | 8 | 231 | 113 | 212 | 171 | 136 | 141 |
| 114 | 185 | 243 | 172 | 54 | 42 | 60 | 241 | 64 | 211 | 187 | 67 | 31 | 173 | 119 | 128 |
| 130 | 236 | 39 | 229 | 133 | 54 | 12 | 65 | 239 | 147 | 25 | 33 | 14 | 73 | 101 | 189 |
| 164 | 143 | 235 | 206 | 66 | 95 | 197 | 26 | 225 | 202 | 71 | 61 | 1 | 214 | 36 | 77 |
| 13 | 102 | 204 | 45 | 16 | 32 | 177 | 153 | 76 | 194 | 126 | 5 | 183 | 49 | 23 | 215 |
| 89 | 97 | 27 | 23 | 15 | 22 | 24 | 34 | 63 | 173 | 181 | 145 | 8 | 163 | 252 | 80 |
| 208 | 125 | 137 | 151 | 91 | 149 | 255 | 210 | 196 | 72 | 247 | 219 | 3 | 213 | 63 | 143 |
| 92 | 2 | 74 | 51 | 103 | 243 | 127 | 226 | 155 | 38 | 55 | 59 | 150 | 75 | 190 | 46 |
| 121 | 140 | 110 | 142 | 245 | 132 | 253 | 89 | 152 | 103 | 70 | 136 | 37 | 66 | 162 | 250 |
| 7 | 85 | 238 | 10 | 73 | 104 | 56 | 164 | 40 | 123 | 201 | 193 | 237 | 244 | 199 | 158 |

P-функция

P-функция является частью F-функции, которая определяется следующим образом:
 $P: L \rightarrow L$,

$$z_{1(8)} \parallel z_{2(8)} \parallel z_{3(8)} \parallel z_{4(8)} \parallel z_{5(8)} \parallel z_{6(8)} \parallel z_{7(8)} \parallel z_{8(8)} \rightarrow \\ \rightarrow z_{\bar{1}(8)} \parallel z_{\bar{2}(8)} \parallel z_{\bar{3}(8)} \parallel z_{\bar{4}(8)} \parallel z_{\bar{5}(8)} \parallel z_{\bar{6}(8)} \parallel z_{\bar{7}(8)} \parallel z_{\bar{8}(8)},$$

где
 $z_{\bar{1}} = z_1 \oplus z_3 \oplus z_4 \oplus z_6 \oplus z_7 \oplus z_8$; $z_{\bar{2}} = z_1 \oplus z_2 \oplus z_4 \oplus z_5 \oplus z_7 \oplus z_8$; $z_{\bar{3}} = z_1 \oplus z_2 \oplus z_3 \oplus z_5 \oplus z_6 \oplus z_8$;
 $z_{\bar{4}} = z_2 \oplus z_3 \oplus z_4 \oplus z_5 \oplus z_6 \oplus z_7$; $z_{\bar{5}} = z_1 \oplus z_2 \oplus z_6 \oplus z_7 \oplus z_8$; $z_{\bar{6}} = z_2 \oplus z_3 \oplus z_5 \oplus z_7 \oplus z_8$;
 $z_{\bar{7}} = z_3 \oplus z_4 \oplus z_5 \oplus z_6 \oplus z_8$; $z_{\bar{8}} = z_1 \oplus z_4 \oplus z_5 \oplus z_6 \oplus z_7$.

Это преобразование может быть представлено так же в следующем виде:

$$\begin{pmatrix} z_8 \\ z_7 \\ \vdots \\ z_1 \end{pmatrix} \rightarrow \begin{pmatrix} z_{\bar{8}} \\ z_{\bar{7}} \\ \vdots \\ z_{\bar{1}} \end{pmatrix} = P \begin{pmatrix} z_8 \\ z_7 \\ \vdots \\ z_1 \end{pmatrix},$$

где

$$P = \begin{pmatrix} 0 & 1 & 1 & 1 & 1 & 0 & 0 & 1 \\ 1 & 0 & 1 & 1 & 1 & 1 & 0 & 0 \\ 1 & 1 & 0 & 1 & 0 & 1 & 1 & 0 \\ 1 & 1 & 1 & 0 & 0 & 0 & 1 & 1 \\ 0 & 1 & 1 & 1 & 1 & 1 & 1 & 0 \\ 1 & 0 & 1 & 1 & 0 & 1 & 1 & 1 \\ 1 & 1 & 0 & 1 & 1 & 0 & 1 & 1 \\ 1 & 1 & 1 & 0 & 1 & 1 & 0 & 1 \end{pmatrix}$$

FL-функция

На рис. 3 показана FL-функция, которая определяется так, как показано ниже:
 $FL: L * L \rightarrow L$,

$$(X_{L(32)} \parallel X_{R(32)}, kl_{L(32)} \parallel kl_{R(32)}) \rightarrow Y_{L(32)} \parallel Y_{R(32)},$$

где

$$Y_{R(32)} = ((X_{L(32)} \cap kl_{L(32)}) \lll 1) \oplus X_{R(32)} \quad (\cap - \text{ побитовая операция И});$$

$$Y_{L(32)} = (Y_{R(32)} \cup kl_{R(32)}) \oplus X_{L(32)} \quad (\cup - \text{ Побитовая операция ИЛИ}).$$

FL⁻¹-функция

На рис. 4 показана FL⁻¹-функция, которая определяется следующим образом:
 $FL^{-1}: LxL \rightarrow L$,

$$(Y_{L(32)} \parallel Y_{R(32)}, kl_{L(32)} \parallel kl_{R(32)}) \rightarrow X_{L(32)} \parallel X_{R(32)},$$

где

$$X_{L(32)} = (Y_{R(32)} \cup kl_{R(32)}) \oplus Y_{L(32)};$$

$$X_{R(32)} = ((X_{L(32)} \cap kl_{L(32)}) \lll 1) \oplus Y_{R(32)}.$$

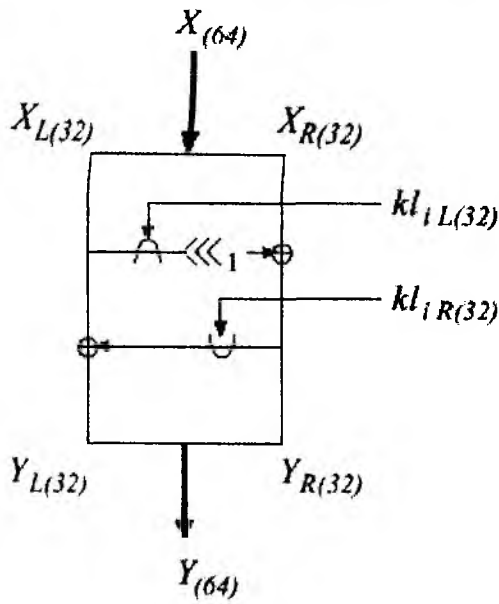


Рис. 3

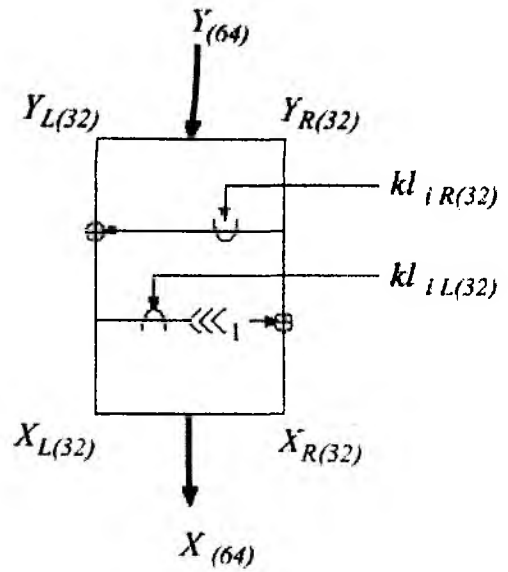


Рис. 4

Мы рассмотрели схему шифрования на длине $l_k = 128$ бит, шифрование на длинах $l_k = 192, 256$ бит выполняется аналогично за исключением того, что в схему добавляется блок из шести циклов Фейстеля и после 18-го цикла выполняются FL / FL^{-1} преобразования.

4 Выработка цикловых ключей

В алгоритме Camellia применяется принцип разворачивания цикловых ключей [5]. Сущность его заключается в том, что необходимое число цикловых ключей вырабатывается из исходного ключа K . Схема разворачивания ключей представлена на рис. 5. Как исходные так и цикловые ключи представляются в виде одномерных массивов. В блоке таблицы ключей шифра Camellia вводятся две 128-битовые переменные $K_{L(128)}, K_{R(128)}$ и четыре 64-битовые переменные $K_{LL(64)}, K_{LR(64)}, K_{RL(64)}$ и $K_{RR(64)}$, которые заданы так, чтобы удовлетворялись следующие отношения:

$$\begin{aligned}
 K_{(128)} &= K_{L(128)}, K_{R(128)} = 0 && \text{для 128-битового ключа,} \\
 K_{(192)} &= K_{L(128)} \parallel K_{RL(64)}, K_{RR(64)} = \overline{K_{RL(64)}} && \text{для 192-битового ключа,} \\
 K_{(256)} &= K_{L(128)} \parallel K_{R(128)} && \text{для 256-битового ключа.}
 \end{aligned}$$

С помощью этих переменных генерируются две 128-битовых переменных $K_{A(128)}$ и $K_{B(128)}$, как показано на рис. 5, где $K_{B(128)}$ используется только при длине секретного ключа 192 или 256 бит. Сначала выполняется XOR операция $K = K_{L(128)}$ с $K_{R(128)}$, и результат «шифруется» за два цикла с использованием постоянных значений $\sum_{1(64)}$ и $\sum_{2(64)}$ как «ключей»; результат XOR-ся с $K_{L(128)}$ и зашифруется еще на двух циклах с использованием $\sum_{3(64)}$ и $\sum_{4(64)}$. В итоге результирующим значением является $K_{A(128)}$. И наконец, выполняется XOR-операция $K_{A(128)}$ с $K_{R(128)}$, результат шифруется за два цикла с использованием постоянных значений $\sum_{5(64)}$ и $\sum_{6(64)}$. Результирующим значением является $K_{B(128)}$. Постоянные значения \sum_i приведены в табл. 6.

Подключи $kw_{i(64)}, k_{u(64)}$ и $kl_{v(64)}$ генерируются из (левой или правой половины) циклически сдвинутых значений $K_{L(128)}, K_{R(128)}, K_{A(128)}$ и $K_{B(128)}$.

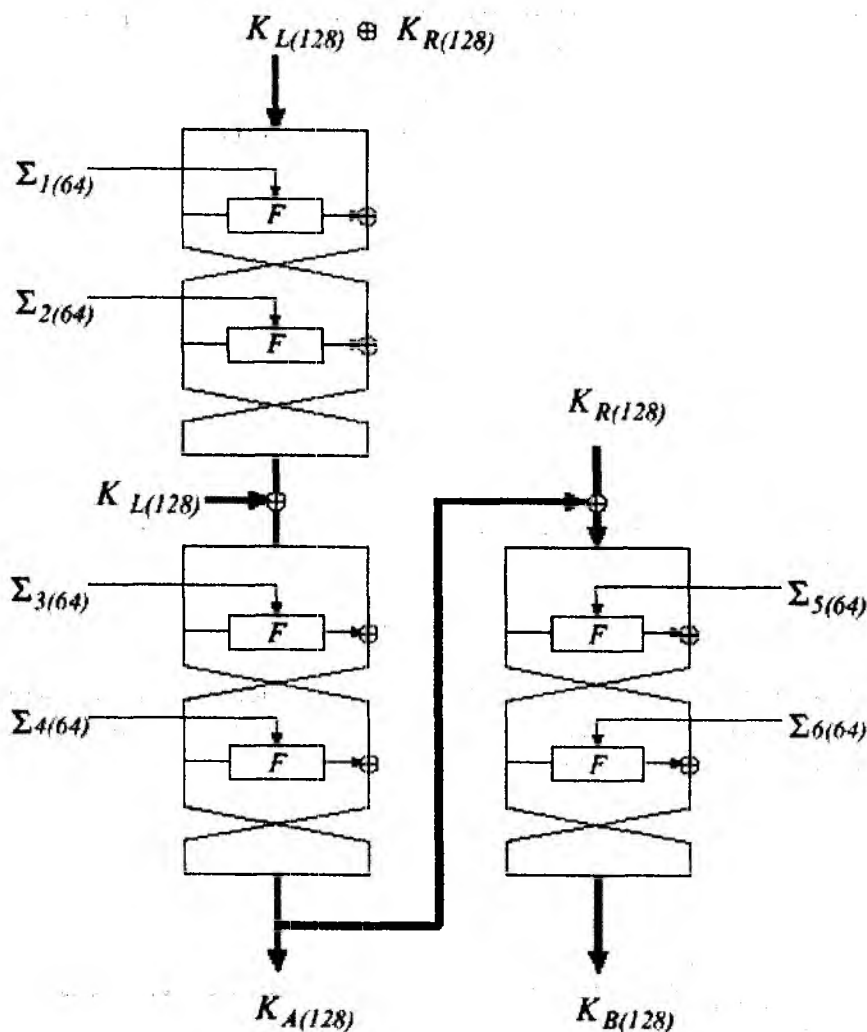


Рис. 5

Таблица 6

| | |
|------------------|--------------------|
| $\Sigma_{1(64)}$ | 0xA09E667F3BCC908B |
| $\Sigma_{2(64)}$ | 0xB67AE8584CAA73B2 |
| $\Sigma_{3(64)}$ | 0xC6EF372FE94F82BE |
| $\Sigma_{4(64)}$ | 0x54FF53A5F1D36F1C |
| $\Sigma_{5(64)}$ | 0x10E527FADE682D1D |
| $\Sigma_{6(64)}$ | 0xB05688C2B3E6C1FD |

5 Обратные преобразования (расшифрование)

Процедура расшифрования в алгоритме Camellia может быть выполнена таким же способом, как процедура зашифрования, путем изменения на обратный порядок подключей. На рис. 6 показана процедура расшифрования для 128-битового ключа. Алгоритм расшифрования также имеет 18-цикловую структуру Файстеля с двумя FL/FL^{-1} -функциональными слоями после 6-го и 12-го циклов и 128-битовыми операциями XOR перед первым циклом и после последнего цикла. Блок таблицы ключей генерирует подключи $kw_{t(64)}$ ($t = 1, 2, 3, 4$), $ku_{i(64)}$ ($i = 1, 2, \dots, 18$) и $kl_{v(64)}$ ($v = 1, 2, 3, 4$) из секретного ключа K .

При расшифровании сначала выполняется операция XOR шифротекста $C_{(128)}$ с $kw_{3(64)}$ и выделение в $R_{18(64)}$ и $L_{18(64)}$ равной длины, то есть

$$C_{(128)} \oplus (kw_{3(64)} \parallel kw_{4(64)}) = R_{18(64)} \parallel L_{18(64)}.$$

Для $r =$ от 18 до 1, выполняются следующие операции (кроме $r = 13$ и 7):

$$R_{r-1} = L_r \oplus F(R_r, k_r),$$

$$L_{r-1} = R_r.$$

Для $r = 13$ и 7 выполняется следующее:

$$R_{r-1} = L_r \oplus F(R_r, k_r),$$

$$L_{r-1} = R_r,$$

$$R_{r-1} = FL(R_{r-1}, kl_{2(r-1)/6-1}),$$

$$L_{r-1} = FL^{-1}(L_{r-1}, kl_{2(r-1)/6-1}).$$

И, наконец, $L_{0(64)}$ и $R_{0(64)}$ конкатенируются и XOR-ся с $kw_{1(64)} \parallel kw_{2(64)}$. Результирующее значение является открытым текстом, то есть

$$M_{(128)} = (L_{0(64)} \parallel R_{0(64)}) \oplus (kw_{1(64)} \parallel kw_{2(64)}).$$

Схема расшифрования на длине $l_k = 192, 256$ бит выполняется аналогично зашифрованию, за исключением того, что в схему добавляется блок из шести циклов Фейстеля и перед 19-м циклом выполняются FL / FL^{-1} преобразования.

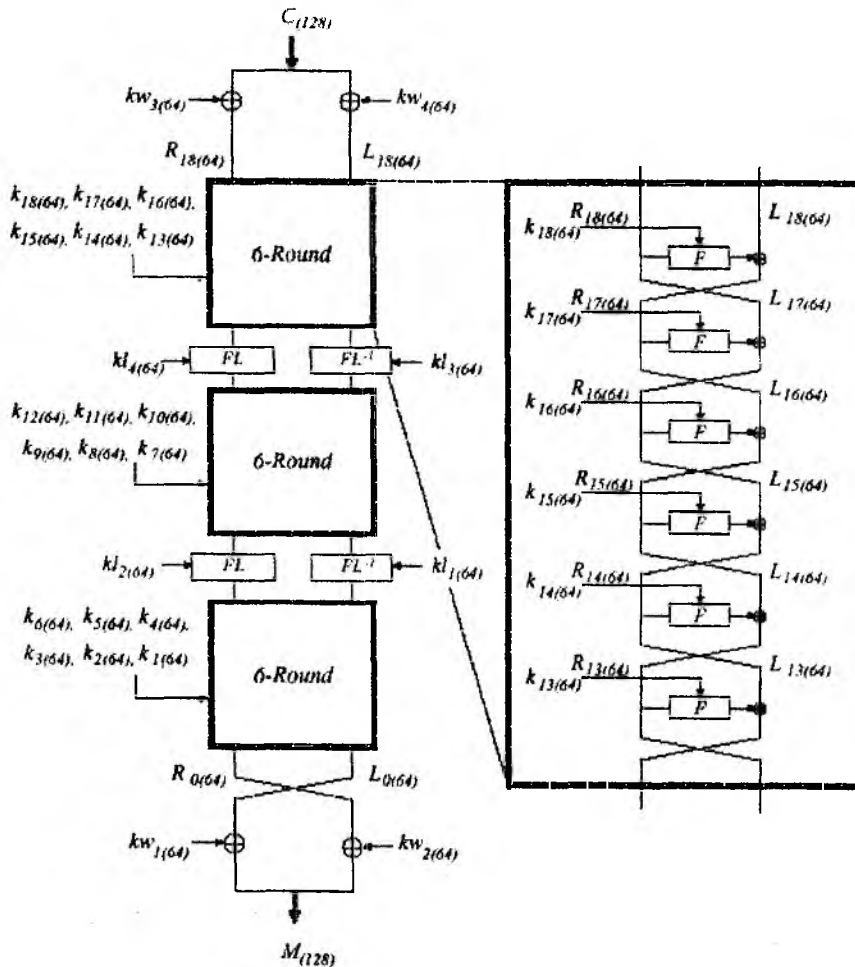


Рис. 6

6 Анализ стойкости криптоалгоритма

В процессе всех этапов «общественного», научного и практического обсуждения и анализа алгоритма Camellia, а также исследования и тестирования его со стороны Европейской комиссии NESSIE особое внимание уделялось анализу и оценке по критериям реальной криптозащищенности, статистической безопасности и надежности математической базы криптоалгоритма. На сегодняшний день относительно алгоритма Camellia не известно, а, возможно, и не существует ни одного метода криптоанализа, сложность реализации которого была бы меньше, чем методы, основанные на «грубой силе» (переборе). Алгоритм оказался защищенным от атак, реализованных на основе: дифференциального криптоанализа; поиска наилучшей дифференциальной характеристики; расширения для дифференциального криптоанализа; линейного криптоанализа; вторжения с использованием связанных ключей; вторжения с частичным угадыванием ключа; вторжения на основе обработки сбоев; интерполяционного (алгебраического) вторжения; поиска лазеек. Основу криптозащищенности в алгоритме составляют криптографические преобразования на множестве циклов.

Ниже будут рассмотрены результаты анализа статистической криптостойкости алгоритма, проведенные авторами. При анализе статистической безопасности алгоритма Camellia оценивалась связанность криптограмм между собой и со входными блоками открытых текстов, а также определялась избыточность криптограмм. Избыточность связана с зависимостью символов сообщений соответствующего алфавита и неодинаковой вероятностью их появления.

Пусть m_1, m_2, \dots, m_n – последовательность бит, принадлежащих открытому блоку исходного текста, а c_1, c_2, \dots, c_n – последовательность бит, принадлежащих соответствующей криптограмме. Символы m_i и c_i являются двоичными, то есть принимают значения 1 или 0. Связанность блоков M_i и C_i можно определить по формуле:

$$F = f(m_i, c_i) = \sum_{j=1}^{l_u} (m_j \oplus c_j),$$

а блоков C_i и C_k :

$$F = f(c_i, c_k) = \sum_{j=1}^{l_u} (c_j \oplus c_k),$$

где l_u длина блока шифруемой информации (128 бит).

Математическое ожидание зашифрованного блока можно определить по формуле:

$$M = f(b_j) = \frac{\sum_{j=1}^{l_u} b_j}{l_u}.$$

Расстояние Хемминга для блоков M_i и C_i можно найти как

$$H = f(M_j, C_j) = M_j \oplus C_j.$$

Будем считать блоки независимыми (некоррелированными), если $F = l_u / 2$, а математическое ожидание стремится к $1/2$. Оценка статистической безопасности проведена при следующих параметрах работы криптоалгоритма: случайный ключ, случайные данные, ключ постоянный.

Таблица 7

| Режим | Связанность блоков | | Математическое ожидание C_i | Расстояние Хемминга M_i, C_i |
|-----------------------------|--------------------|------------|-------------------------------|--------------------------------|
| | M_i, C_i | C_k, C_i | | |
| Работа алгоритма | 64,0015 | 64,0494 | 0,499996 | 63,9985 |
| Схема разворачивания ключей | 64,0207 | 64,9193 | 0,48711 | 63,9793 |

При определении уровня корреляции блоков брался исходный файл и криптограмма, полученная в результате работы криптоалгоритма Camellia над этим исходным файлом. Затем считывались оба файла по 16 байт (128 бит), и находилась связанность каждого из прочитанных блоков. В конце результат делился на число прочитанных блоков. При поиске корреляции между криптограммами исходный текст изменялся, зашифровывался, и связанность искалась уже между этой криптограммой и криптограммой предыдущей. Такая же схема анализа связанности блоков использовалась и при нахождении связанности для схемы разворачивания ключей.

Математическое ожидание, также как и расстояние Хемминга, считалось для криптограмм, полученных в результате работы криптоалгоритма и для схемы разворачивания ключей.

Оценим качество зашифрования на основе анализа избыточности

Существование избыточности в зашифрованных текстах исследовалось с использованием программы – архиватора WinRAR. В роли входных текстов использовались:

DLL – динамическая библиотека WINDOWS;

DOC – документ Microsoft WORD 2000;

EXE – исполняемый файл WINDOWS;

PDF – документ переносимого формата;

TXT – обычный текст ANSI;

ZIP – файл-архив.

В качестве показателей сжатия использовались следующие соотношения:

$$k_1 = \frac{l'_m}{l_m} \text{ и } k_2 = \frac{l'_c}{l_m},$$

где

l'_m – длина сжатого открытого текста; l_m – длина входного открытого текста; l'_c – длина сжатой криптограммы.

В табл. 8 в качестве примеров приведены значения k_1 и k_2 .

Таблица 8

| Тип файла | l_m | l'_m | l'_c | k_1 | k_2 |
|-----------|---------|---------|---------|----------|----------|
| DLL | 1096736 | 524234 | 1071688 | 0,477994 | 0,977161 |
| DOC | 1085952 | 142893 | 607064 | 0,131583 | 0,559015 |
| EXE | 1060864 | 247488 | 810104 | 0,233289 | 0,763626 |
| PDF | 1062516 | 568422 | 887720 | 0,534977 | 0,835488 |
| TXT | 1318671 | 114096 | 707309 | 0,086523 | 0,536380 |
| ZIP | 1081634 | 1078088 | 1081727 | 0,996721 | 1,000085 |

Из анализа данных табл. 7 и 8 следует, что связанность блоков M_i и C_i стремится к $F = l_u / 2$ (то есть к 64), математическое ожидание стремится к $1/2$, расстояние Хемминга – к 64, k_2 намного больше k_1 , а в некоторых случаях приближается к единице. Следовательно, зашифрованный файл практически не имеет избыточности.

Дифференциальный и линейный криптоанализ

В 1990 г. Бихам и Шамир опубликовали статью, в которой описали аналитическую атаку на DES, сложность которой оказалась меньше, чем грубая сила (дифференциальный криптоанализ). Суть метода дифференциального криптоанализа сводится к нахождению разности между специально подбираемыми блоками M_i и M_j и соответствующими им блоками криптограмм C_i и C_j . То есть в начале подбираются пары сообщений M_i и M_j , которые имеют определенное расстояние между собой. Затем эти два блока пропускаются через схему шифрования, где просчитываются разности на каждом из циклов. Находится разность расстояний $\Delta M, \Delta C$. Далее для некоторых разностей, используя стандартные подстановки, можно найти вероятности появления ключей. По мере того, как все больше пар M_i и M_j проходят через алгоритм, производится уточнение вероятности появления ключей. Истинный ключ после большого числа испытаний становится высоко вероятным.

В 1993 году японский математик Мацуки опубликовал линейный метод криптоанализа. В нем ищутся произведения битов информации M_v на C_ξ биты криптограммы, которые равны произведению битов ключа $PK_v \cdot PK_\xi = PK_\epsilon$. Решая это уравнение, осуществляем криптоанализ. Сложность линейного криптоанализа приблизительно равна сложности дифференциального криптоанализа.

Что касается криптоалгоритма Camellia, то для него вероятность нахождения s – блока $p_s = q_s = 2^{-6}$. Поскольку коэффициент линейной трансформации (P -функции) равен $B = 5$, то после 18 циклов Фейстеля без учета FL и FL^{-1} функций мы имеем следующие вероятности:

$$p_s^{2(2B+1)} = (2^{-6})^{22} = 2^{-132} \text{ и } q_s^{2(2B+1)} = (2^{-6})^{22} = 2^{-132}.$$

Обе вероятности p_s, q_s ниже порога безопасности для 128-битного блочного шифра: 2^{-128} . С учетом FL и FL^{-1} эти вероятности будут еще меньше.

7 Результаты анализа характеристик алгоритма Camellia

Экспериментально были исследованы следующие характеристики алгоритма Camellia – скорость зашифрования / расшифрования, сложность зашифрования / расшифрования и сложность разворачивания ключей.

В табл. 9 приведены результаты измерения скорости зашифрования.

Таблица 9

| Процессор | Язык | Длина ключа | Зашифрование (Mbit/sec) |
|-----------------|-----------|-------------|-------------------------|
| Pentium III (1) | Assembler | 128 | 241,5 |
| Pentium III (1) | Assembler | 192 | 181 |
| Pentium III (1) | Assembler | 256 | 181 |
| Pentium II (2) | ANSI C | 128 | 66,6 |

(1) IBM совместимый компьютер с процессором Intel Pentium III (700 Mhz), 256Кб кэш L2, 128Mb оперативной памяти, операционная система FreeBSD 4.0R.

(2) IBM совместимый компьютер с процессором Intel Pentium II (300 Mhz), 512Кб кэш L2, 160Mb оперативной памяти, операционная система Windows 95.

В табл. 10 приведены результаты [6] измерения скоростей шифрования для ряда шифров.

Таблица 10

| Алгоритм | Процессор | Скорость (cycles/byte) | |
|------------|-----------|------------------------|-------|
| Camellia | Sparc | 22,2 | 22,2 |
| | Alpha | 17,6 | 17,6 |
| 4-Way IDEA | PIII | 13,75 | |
| | PI/MMX | 16,96 | |
| Mistyl | PII | 26,6 | 26 |
| | Alpha | 25,4 | 25,8 |
| RC6 | P.ProII | 16 | |
| | Pentium | 44 | |
| | PIII | 22,18 | |
| Rijndael | PIII | 14,13 | 14,93 |
| | P.ProII | 18 | |
| | Pentium | 20 | |
| Mars | P.ProIII | 20 | |
| | Pentium | 34 | |
| Twofish | P.ProII | 16 | |
| | Pentium | 19 | |

В табл. 11 приведены оценки сложности зашифрования / расшифрования / разворачивания ключей для различных шифров в числе циклов на байт. Эти результаты взяты из [6].

Таблица 11

| название | $l_{k \text{ бум}}$ | Процессоры </операц. сист> | | |
|-----------------|---------------------|----------------------------|-------------|--------------|
| | | PIII/Linux | PIII/MS | Pentium4 |
| Camellia | 128 | 35/35/313 | 37/37/334 | 64/63/453 |
| | 192 | 45/45/420 | 49/48/434 | 86/86/546 |
| | 256 | 45/45/429 | 49/49/447 | 86/87/555 |
| RC6 (20 rounds) | 128 | 17/17/1054 | 24/25/1040 | 36/37/2056 |
| | 192 | 18/17/1175 | 30/25/1258 | 37/37/2141 |
| | 256 | 18/17/1168 | 25/25/1262 | 37/37/2153 |
| Safer++ | 128 | 50/63/1333 | 46/60/1464 | 47/58/2918 |
| | 256 | 68/88/1805 | 63/84/1865 | 65/83/3998 |
| Anubis | 128 | 37/37/3550 | 37/37/3727 | 35/35/3750 |
| | 160 | 40/40/4519 | 39/39/4927 | 37/37/4845 |
| | 192 | 43/43/5857 | 42/42/6993 | 40/39/6054 |
| | 224 | 45/45/7356 | 44/44/8546 | 41/41/7338 |
| | 256 | 48/48/8876 | 47/47/10K | 44/44/8902 |
| | 288 | 50/50/10K | 49/49/12K | 46/46/10K |
| | 320 | 53/53/12K | 51/51/13K | 48/48/11K |
| Hierocrypt-3 | 128 | 51/64/125K | 50/56/13 IK | 54/63/195K |
| | 192 | 60/75/147K | 59/67/1 54K | 63/75/229K |
| | 256 | 69/86/170K | 67/76/1 78K | 73/85/266K |
| Mars | 128 | 31/30/2520 | 36/35/2354 | 82/72/3492 |
| | 192 | 31/30/2530 | 36/35/2337 | 82/72/3480 |
| | 256 | 31/30/2525 | 36/35/2336 | 82/73/3599 |
| Rijndael | 128 | 25/26/504 | 23/23/497 | 24/25/689 |
| | 192 | 30/31/601 | 27/27/552 | 28/29/820 |
| | 256 | 34/35/949 | 32/32/775 | 32/35/1327 |
| Seed | 128 | 45/45/409 | 51/50/421 | 63/63/401 |
| Serpent | 128 | 68/80/1577 | 59/57/1276 | 154/172/2235 |
| | 192 | 68/80/1578 | 59/57/1272 | 155/171/2232 |
| | 256 | 68/80/1566 | 59/57/1257 | 154/171/2231 |
| Twofish | 128 | 28/26/10K | 28/29/15K | 51/49/8871 |
| | 192 | 28/26/12K | 30/30/17K | 52/49/11K |
| | 256 | 28/25/16K | 28/29/20K | 52/49/13K |

Из табл. 11 следует, что по сложности алгоритм Camellia уступает RC6 и несколько уступает только Rijndael.

Заключение

Криптоалгоритм Camellia был разработан японскими Телеграфной и Телефонной Корпорацией Nippon и Электрической Корпорацией Mitsubishi [4]. В его разработке принимали участие такие известные специалисты в области практической криптографии как Kazumaro Aoki, Tetsuya Ichikawa, Masayuki Kanda, Mitsuru Matsui, Shiho Moriai, Junko Nakajima, Toshio Tokita.

Криптоалгоритм Camellia работает с блоками данных длиной 128 бит и длиной ключа 128, 192 и 256 бит, то есть он имеет такую же спецификацию интерфейса как и Advanced Encryption Standard (AES). Криптоалгоритм Camellia эффективно работает как в программной, так и в аппаратной реализации. По сравнению с финалистами AES, такими как MARS, RC6, Rijndael, Serpent и Twofish, Camellia показывает приемлемую скорость зашифрования / расшифрования. Оптимальная программная реализация криптоалгоритма Camellia, написанная на языке Assembler, позволяет достичь скорости зашифрования на Pentium III (1,13 GHz) 471 Мбит/сек. [4].

На сегодняшний день криптоалгоритм Camellia оказался устойчивым к следующим атакам:

- Дифференциальный и линейный криптоанализ.
- Усеченный дифференциальный криптоанализ.
- Усеченный линейный криптоанализ.
- Криптоанализ с невозможным дифференциалом.
- Атака типа бумеранг.
- Дифференциальная атака высших порядков.
- Квадратная атака.
- Интерполяционная и линейная суммарная атака.
- Атака на основе эквивалентных ключей.
- Скользящая атака.
- Атака на основе связанных ключей.
- Атаки, основанные на грубой силе.

Таким образом, международный проект NESSIE выполнен.

10 марта 2000 года NTT и Mitsubishi Electric Corporation представили совместно разработанный новый блочный симметричный шифр, названный Camellia. 17 апреля 2001 года NTT анонсировала, что NTT и Mitsubishi Electric Corporation намереваются разрешить бесплатное использование патентов Camellia.

24 сентября 2001 года алгоритм Camellia был представлен как один из криптоалгоритмов, участвующих во втором туре проекта NESSIE.

20 февраля 2003 года алгоритм Camellia был включен в список криптографических примитивов для использования в таких электронных правительственных системах Японии как: Министерство Иностранных Дел, Министерство Внутренних Дел, Министерство Экономики, Министерство Почты и Телекоммуникаций, Министерство Торговли и Индустрии. Криптоустойчивость алгоритма была оценена Комитетом Криптографических Оценок и Исследований (CRYPTREC) как высокая.

27 февраля 2003 года проект NESSIE [7] анонсировал финальный выбор криптографических алгоритмов, и Camellia была включена в список рекомендованных криптографических примитивов для использования в европейском сообществе.

Криптоалгоритм Camellia [8] эффективно реализуется как программно, так и аппаратно. В нем используются только 8-битовые таблицы подстановок (s-блоки) и логические операции, которые могут эффективно работать на различных аппаратных платформах. Поэтому криптоалгоритм способен работать на большой совокупности платформ, включая 8-, 32-, 64-битовые процессоры. Вместе с тем в криптоалгоритме Camellia не используется 32-битовая целочисленная операция сложения и умножения, которые широко используются некоторыми программно-ориентированными 128-битными блочными шифрами.

Схема разворачивания ключей очень проста и базируется на схеме зашифрования. Подключи, которые генерируются из основного ключа, могут быть вычислены в любом порядке. Для генерации подключей используется 32 байта для 128-битного ключа и 64 байта для ключей длиной 192/256 бит.

Список литературы: 1. News Releases № 2300 <http://www.Global.MitsubishiElectric.com>. 2. Proposal of addition of new cipher suites to TLS to support Camellia, EPOC, and PSEC 8/14/00 <http://www.ietf.org> 3. <http://www.cryptonessie.org> 4. K. Aoki, T. Ichikawa, M. Kanda, M. Matsui, S. Moriai, J. Nakajima, and T. Tokita, \ Camellia: A 128-bit block cipher suitable for multiple platforms. See also <http://info.isl.ntt.co.jp/camellia/>. 5. Specification of Camellia – a 128-bit Block Cipher. 6. Performance of Optimized Implementations of the NESSIE Primitives B. Preneel, B. Van Rompay, S.B. Ors, A. Biryukov, L. Granboulan, E. Dottax. 7. NESSIE PROJECT ANNOUNCES FINAL SELECTION OF CRYPTO ALGORITHMS. 8. Specification of Camellia – 128-bit Block Cipher. Difference between specifications.

*Харьковский национальный
университет радиоэлектроники*

Поступила в редколлегию 25.06.2003